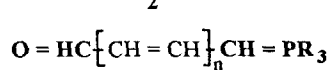
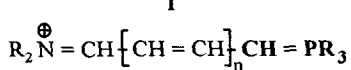
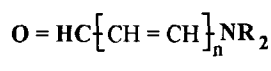
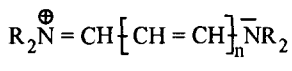


**$\lambda^5\sigma^4$ -Monophosphaphopolymethincyanine**  
 **$\lambda^5\sigma^4$ -Monophosphaphopolymethinmerocyanine**

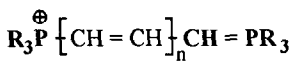
G. Märkl\*, A. Rehberger, W. Schumann  
Institut für Organische Chemie der Universität D-93040 Regensburg

**Summary:** The title compounds have been obtained from polymethincyanines,  $\omega$ -dialkylaminopolyenals and the corresponding vinylog amidchlorides on treatment with triphenylcarbomethoxymethylene.

In den Polymethincyaninen **1** und den Polymethinmerocyaninen **2** lassen sich formal die Aminendgruppen austauschen durch Phosphinomethylenreste zu den  $\lambda^5\sigma^4$ -Monophosphaphopolymethincyaninen **3**, den  $\lambda^4\sigma^4$ ,  $\lambda^5\sigma^4$ -Diphosphaphopolymethincyaninen **4** und den  $\lambda^5\sigma^4$ -Monophosphaphopolymethinmerocyaninen **5**:

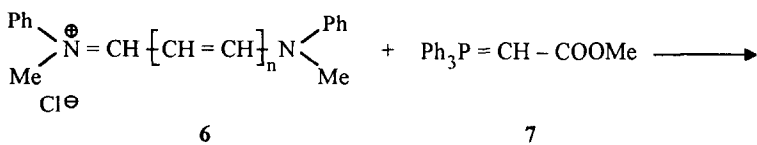


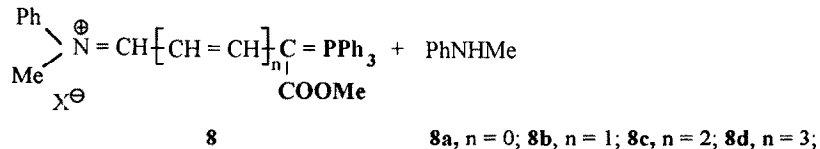
**3**



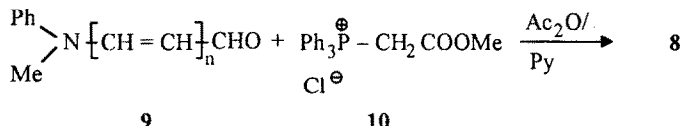
**5**

Während einige Vertreter der Diphosphaphopolymethincyanine **4** bereits beschrieben wurden <sup>1-4</sup>), ist von den  $\lambda^5\sigma^4$ -Monophosphaphopolymethincyaninen **3** bisher nur eine Verbindungsklasse mit den Endgruppen **1**  $\lambda^5\sigma^4$ -Phosphafulven und N-Ethylbenzothiazol bekannt <sup>5</sup>). Verbindungen der Struktur **5** mit Ausnahme  $n=0$  sind unseres Wissens bislang nicht bekannt. Wir berichten hier über allgemeine Synthesen der Monophosphaphopolymethincyanine **3** und der Monophosphaphopolymethinmerocyanine **5**. Die Polymethincyanine **6** reagieren mit Triphenylphosphincarbomethoxymethylen (**7**) in siedendem  $\text{CHCl}_3$  (Reaktionszeit 24 h) unter Austausch eines Aminrestes zu den  $\lambda^5\sigma^4$ -Triphenylphosphaphopolymethincyaninen **8** (Methode A):

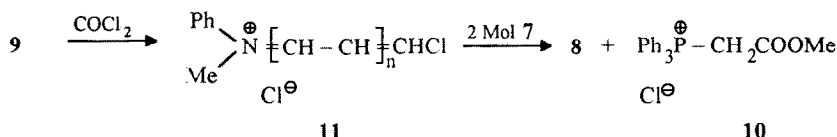




In siedendem Acetanhydrid/Pyridin gelingt es, die Polymethinmerocyanine **9** direkt mit dem Carbome-thoxymethylphosphoniumsalz **10** zu **8** zu kondensieren (Methode B):



Die aus den Merocyaninen **9** durch Umsetzung mit Phosgen zugänglichen, vinylogen Amidchloride **11** (vinylogre Vilsmeier-Reagentien)<sup>6)</sup> reagieren mit 2 Mol Ylid **7** in siedendem  $\text{CHCl}_3$  ebenfalls zu **8** (Methode C):



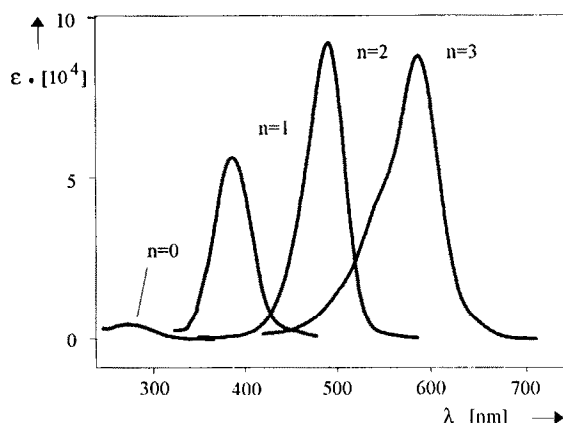
**8a**,  $[\text{Ph}-\overset{\oplus}{\underset{|}{\text{N}}}=\text{CH}-\overset{\text{Me}}{\underset{|}{\text{C}}}=\text{PPh}_3]\text{ClO}_4^-$ , (Methode C: Edukt **11**,  $n=0$ , Ausb. 68%; farblose Würfel ( $\text{CHCl}_3/\text{Ether}$ ),  $F_p = 194\text{-}195^\circ\text{C}$ ; **UV** ( $\text{CHCl}_3$ ):  $\lambda_{\max} = 274\text{ nm}$  ( $\epsilon = 4.350$ ); **MS** (Liquid SIMS ( $\text{Cs}^+$ ), Matrix: MNBA/ $\text{CH}_2\text{Cl}_2$ ):  $K^+ = 452.3$  (100%); **<sup>1</sup>H-NMR** (250 MHz,  $\text{CDCl}_3$ , Tms, ppm):  $\delta = 6.82$  (d,  $=\text{CH}^-$ ,  $^3J(\text{P},\text{H}) = 13.6\text{ Hz}$ , E-Isomeres),  $\delta = 7.11$  (d,  $=\text{CH}^-$ ,  $^3J(\text{P},\text{H}_a) = 4.9\text{ Hz}$ , Z-Isomeres); **<sup>31</sup>P-NMR** (101.25 MHz,  $\text{CDCl}_3$ , 85%-ige  $\text{H}_3\text{PO}_4$  ext.):  $\delta = 27.4\text{ ppm}$ .

**8b**,  $[\text{Ph}-\overset{\oplus}{\underset{|}{\text{N}}}=\text{CH}_c-\overset{\text{Me}}{\underset{|}{\text{CH}}}_b=\overset{\text{COOMe}}{\underset{|}{\text{CH}}}_a-\overset{\text{COOMe}}{\underset{|}{\text{C}}}=\text{PPh}_3]\text{ClO}_4^-$ . Methode A: Edukt **6**,  $n=1$ , Ausb. 53%; Methode B: Edukt **9**,  $n=1$ , Ausb. 12%; Methode C: **11**;  $n=1$ , Ausb. 56%, orangefarbene Nadeln ( $\text{CHCl}_3/\text{Ether}$ ),  $F_p = 209\text{-}210^\circ\text{C}$ ; **UV** ( $\text{CHCl}_3$ ):  $\lambda_{\max} = 386\text{ nm}$  ( $\epsilon = 56.200$ ); **MS**:  $K^+ = 478.7$  (85%); **<sup>1</sup>H-NMR**:  $\delta = 7.00$  (dd,  $\text{H}_a$ ,  $^3J(\text{P},\text{H}_a) = 18.2\text{ Hz}$ ), 7.11-7.30 (m, 2H,  $\text{H}_b$ ,  $\text{H}_c$ ); **<sup>31</sup>P-NMR**:  $\delta = 25.4\text{ ppm}$ .

**8c**,  $[\text{Ph}-\overset{\oplus}{\underset{|}{\text{N}}}=\text{CH}_e-\overset{\text{Me}}{\underset{|}{\text{CH}}}_d=\overset{\text{COOMe}}{\underset{|}{\text{CH}}}_c-\overset{\text{COOMe}}{\underset{|}{\text{CH}}}_b=\overset{\text{COOMe}}{\underset{|}{\text{CH}}}_a-\overset{\text{COOMe}}{\underset{|}{\text{C}}}=\text{PPh}_3]\text{ClO}_4^-$ . Methode A: Edukt **6**,  $n=2$  (König'sches Salz), Ausb. 63%; Methode B: Edukt **9**,  $n=2$  (Zinke-Aldehyd), Ausb. 18%; Methode C: Edukt **11**,  $n=2$ , Ausb. 63%; dunkelrote Nadeln ( $\text{MeOH/EtOH}$ ),  $F_p = 182\text{-}184^\circ\text{C}$ ; **UV** ( $\text{CHCl}_3$ ):  $\lambda_{\max} = 490\text{ nm}$  ( $\epsilon = 91.800$ ); **MS**:  $K^+ = 504.4$  (100%); **<sup>1</sup>H-NMR**: 6.92 (dd,  $\text{H}_a$ ,  $^3J(\text{H}_a,\text{H}_b) = 12.9\text{ Hz}$ ,  $^3J(\text{P},\text{H}_a) = 18.9\text{ Hz}$ ); 7.15-7.48 (m,  $\text{H}_b$ ,  $\text{H}_c$ ,  $\text{H}_d$ ); 5.78 (dd,  $\text{H}_c$ ,  $^3J(\text{H}_d,\text{H}_c) = 12.1\text{ Hz}$ ); **<sup>31</sup>P-NMR**:  $\delta = 25.7\text{ ppm}$ .

**8d**,  $\text{[Ph}-\overset{\oplus}{\text{N}}-\text{CH}_g-\text{CH}_f=\text{CH}_e-\text{CH}_d=\text{CH}_c-\text{CH}_b=\text{CH}_a-\overset{\ominus}{\text{C}}(\text{COOMe})-\text{PPh}_3]ClO_4$ , Methode A: Edukt **6**,  $n = 3$ , Ausb. 68%; Methode B: Edukt **9**:  $n = 3$ , Ausb. 27%; Methode C: Edukt **11**,  $n = 3$ , Ausb. 53%; blaue Kristalle ( $\text{CHCl}_3/\text{Ethylacetat}/\text{Ether}$ ),  $F_p = 169-171^\circ\text{C}$ ; **UV** ( $\text{CHCl}_3$ ):  $\lambda_{\max} = 587\text{ nm}$  ( $\epsilon = 87.700$ ); **MS**:  $K^+ = 530.4$  (100%); **1H-NMR**: 6.84 (dd,  $H_a$ ,  ${}^3J(H_a, H_b) = 12.2\text{ Hz}$ ,  ${}^3J(P, H_a) = 19.6\text{ Hz}$ ), 6.59-6.72, 7.12-7.21 (m,  $H_b$ ,  $H_c$ ,  $H_d$ ,  $H_e$ ), 6.29 (dd,  $H_f$ ,  ${}^3J(H_c, H_f) = 13.2\text{ Hz}$ ,  ${}^3J(H_f, H_g) = 12.3\text{ Hz}$ ), 5.72 (dd,  $H_g$ ,  ${}^3J(H_f, H_g) = 12.3\text{ Hz}$ ); **31P-NMR**:  $\delta = 25.7\text{ ppm}$ .

**Abb. 1** zeigt die UV/VIS-Spektren der Phosphopolymethincyanine **8**,  $n = 0$  bis 3, in **Tab. 1** werden die Werte mit denen der Polymethincyanine **1** ( $\text{NR}_2 = \text{NHC}_6\text{H}_5$ )<sup>7)</sup> verglichen:



	$\lambda_{\max}$ [nm]	$\Delta\lambda$ [nm]
<b>8</b>		
<b>8a, n = 0</b>	274	112
<b>8b, n = 1</b>	386	104
<b>8b, n = 2</b>	490	97
<b>8d, n = 3</b>	587	

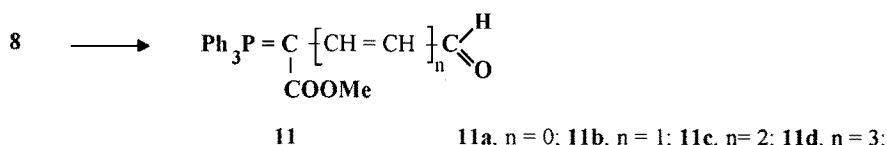
	$\lambda_{\max}$ [nm]	$\Delta\lambda$ [nm]
<b>1</b>		
<b>1b, n = 1</b>	382	103
<b>1c, n = 2</b>	485	105
<b>1d, n = 3</b>	590	

Tab. 1

Abb. 1: UV/VIS-Spektren von **8a** - **8d**

Die langwelligsten Absorptionsmaxima der Phosphopolymethincyanine **8** zeigen bathochrome Verschiebungen von 97-112 nm/Doppelbindung, die  $\lambda_{\max}$ -Werte sind also wie bei den Cyaninfarbstoffen proportional  $n$  ( $\lambda_{\max} = k n + k'$ )<sup>8)</sup>. Die Solvatochromieeffekte von **8** sind gering (z.B.  $\lambda_{\max}$  **8d**: MeOH: 581 nm;  $\text{CH}_3\text{CN}$ : 578 nm; Pyridin: 593 nm;  $\text{CHCl}_3$ : 587 nm;  $\text{CH}_2\text{Cl}_2$ : 585 nm). Interessanterweise besitzen die Phosphopolymethincyanine **8** und die Polymethincyanine **1** ( $\text{NR}_2 = \text{NHC}_6\text{H}_5$ ) fast übereinstimmende Absorptionsmaxima, wenn man **1** und **8** mit gleichen  $n$ -Werten vergleicht (**Tab. 1**).

Die Hydrolyse der Phosphopolymethincyanine **8** (KOH/MeOH, RT, 12 h) liefert die Monophosphopolymethinmerocyanine **11**:



**11a**<sup>9)</sup>,  $\text{Ph}_3\text{P}=\underset{\text{COOMe}}{\underset{|}{\text{C}}} - \text{CHO}$ , farblose Würfel ( $\text{CHCl}_3/\text{Ether}$ ),  $F_p = 158-160^\circ\text{C}$ ; Ausb. 90%; **UV** (MeOH):  $\lambda_{\max} = 220\text{ nm}$  ( $\epsilon = 27.600$ ); **1H-NMR** (250 MHz,  $\text{CDCl}_3$ , Tms, ppm):  $\delta = 9.82$  (s, 1H, CHO), 3.47 (s,

3H, OCH<sub>3</sub>); **MS** (EI/70 eV): m/z = 362 (M<sup>+</sup>, 7%); **<sup>31</sup>P-NMR** (101.25 MHz, 85%-ige H<sub>3</sub>PO<sub>4</sub> ext.): δ = 16.9 ppm; **IR** (KBr) [cm<sup>-1</sup>]: 1670 (s, ν (CH=O), 1630 (s, ν (COOCH<sub>3</sub>)).

COOMe  
↓  
**11b**, Ph<sub>3</sub>P = C – CH = CH – CHO , schwach gelbe Nadeln (Ethylacetat), Fp = 204-205° C; Ausb. 63%; **UV** (MeOH): λ<sub>max</sub> = 340 nm (ε = 57.700); **MS**: m/z = 388 (M<sup>+</sup>, 9%); **<sup>1</sup>H-NMR**: 9.81 (d, 1H, <sup>3</sup>J(CHO, H) = 8.40 Hz, CHO), 6.68-6.55 (m, 2H, -CH=CH-); 3.50 (s, 3H, OCH<sub>3</sub>); **<sup>31</sup>P-NMR**: δ = 23.4 ppm; **IR** (KBr) [cm<sup>-1</sup>]: 1710, 1730 (m, ν (COOCH<sub>3</sub>)), 1650 (s, ν (CHO)).

COOMe  
↓  
**11c**, Ph<sub>3</sub>P = C – CH<sub>a</sub> = CH<sub>b</sub> – CH<sub>c</sub> = CH<sub>d</sub> – CHO , gelbe Nadeln (Ethylacetat), Fp = 194-196° C; Ausb. 65%; **UV** (MeOH): λ<sub>max</sub> = 424 nm (ε = 73.500); **MS**: m/z = 415 (M<sup>+</sup>, 1%); **<sup>1</sup>H-NMR**: 9.20 (d, <sup>3</sup>J(CHO,H<sub>d</sub>) = 8.40 Hz, CHO); 6.97-6.74 (m, H<sub>b</sub>, H<sub>c</sub>, <sup>3</sup>J(H<sub>a</sub>,H<sub>b</sub>) = 13.0 Hz, <sup>3</sup>J(H<sub>c</sub>,H<sub>d</sub>) = 13.7 Hz); 6.22 (dd, H<sub>a</sub>, <sup>3</sup>J(H<sub>a</sub>,H<sub>b</sub>) = 12.9 Hz; <sup>3</sup>J(P,H<sub>a</sub>) = 17.9 Hz); 5.81 (dd, H<sub>d</sub>, <sup>3</sup>J(H<sub>d</sub>,H<sub>c</sub>) = 8.3 Hz); 3.43 (s, OCH<sub>3</sub>); **<sup>31</sup>P-NMR**: δ = 29.7 ppm; **IR** (KBr) [cm<sup>-1</sup>]: 1710, 1730 (m, ν (COOCH<sub>3</sub>)), 1650 (m, ν (CHO)).

COOMe  
↓  
**11d**, Ph<sub>3</sub>P = C – CH<sub>a</sub> = CH<sub>b</sub> – CH<sub>c</sub> = CH<sub>d</sub> – CH<sub>e</sub> = CH<sub>f</sub> – CHO , dunkelbraune Nadeln (Ethylacetat), Fp = 202-204° C; Ausb. 69%; **MS**: m/z = 440.5 (M<sup>+</sup>, 0.1 %); **UV** (MeOH): λ<sub>max</sub> = 472 nm (ε = 44.400); **<sup>1</sup>H-NMR**: 9.25 (d, 1H, <sup>3</sup>J(H<sub>f</sub>, CHO) = 8.3 Hz, CHO); 7.02 (dd, 1H, <sup>3</sup>J(H,H) = 14.6 Hz), 6.83 (dd, 1H, <sup>3</sup>J(H,H) = 14.3 Hz), 6.42 (dd, 1H, <sup>3</sup>J(H,H) = 14.0 Hz), 6.13-5.97 (m, 2H), 5.89 (dd, 1H, <sup>3</sup>J(H,H) = 14.5 Hz), 3.42 (s, 3H, OCH<sub>3</sub>); **IR** (KBr) [cm<sup>-1</sup>]: 1710, 1730 (m, ν (COOCH<sub>3</sub>)), 1655 (m, ν (CHO)).

Wie zu erwarten war, sind die λ<sub>max</sub>-Werte der Monophosphapolymethinmerocyanine **11** (**11a**: λ<sub>max</sub> = 220 nm (ε = 27.600); **11b**: 340 nm (57.700); **11c**: 424 nm (73.500); **11d**: 472 nm (44.000)) im Gegensatz zu **8** nicht proportional der Zahl der Doppelbindungen.

#### Literatur:

- 1) H. Depoorter, J. Nys, A. van Dormael, *Tetrahedron Lett.* **1961**, 6, 199; *Bull. Soc. Chim. Belg.* **1964**, 73, 921; *Chimia*, **1961**, 15, 67.
- 2) G. Märkl, *Habilitationsschrift* Universität Würzburg 1964; S. Hünig, "Neuere farbige Systeme" in: *Optische Anregung organischer Systeme*, Verlag Chemie, Weinheim, **1966**, S. 184.
- 3) H. Schmidbaur, Ch. Paschalidis, O. Steigelbaum, G. Müller, *Angew. Chem.* **1989**, 101, 1739; *Angew. Chem. Int. Ed. Engl.* **1989**, 28, 1700; H.-J. Bestmann, L. Kisielowski, *Tetrahedron Lett.* **1990**, 31, 3301.
- 4) A. Schmidpeter, G. Jochem, *ibid.* **1992**, 33, 471.
- 5) L.G.S. Brooker, *Rev. Mod. Physics* **1942**, 14, 275.
- 6) H. H. Bosshard, M. Mory, M. Schmid, H. Zollinger, *Helv. Chim. Acta* **1959**, 42, 1653; H.E. Nikolajewski, S. Dähne, *Chem. Ber.* **1967**, 100, 2616.
- 7) L.G.S. Brooker, F.L. White, G.H. Keyes, C.P. Smyth, R.F. Oesler, *J. Am. Chem. Soc.* **1941**, 63, 3192;
- 8) siehe z. B. H.A. Staab, "Einführung in die theoretische organische Chemie", Verlag Chemie, 1959, S. 323-330; daselbst weitere Literatur.
- 9) G. Märkl, *Tetrahedron Lett.* **1962**, 22, 1027.